

2/8

Borg, et al  
HSJ920030153US 3 LLN

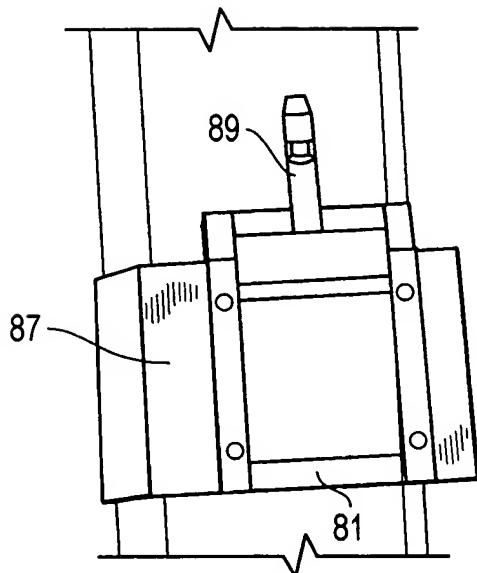


FIG. 3

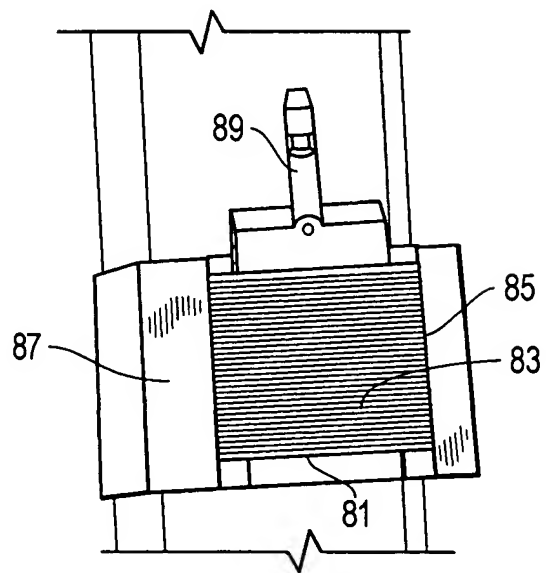


FIG. 4

3/8  
Borg, et al  
HSJ920030153US 3 LLN

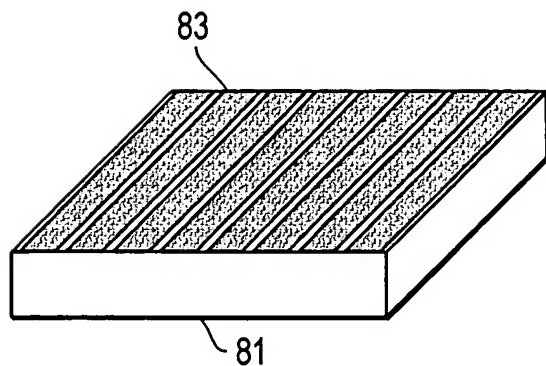


FIG. 5

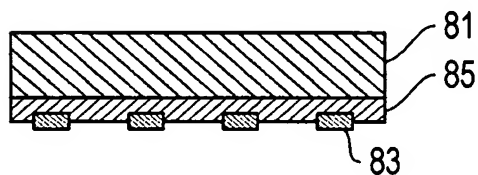


FIG. 6

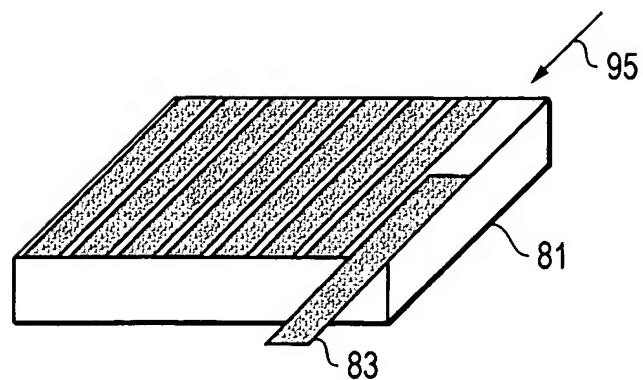


FIG. 7

4/8

Borg, et al  
HSJ920030153US 3 LLN

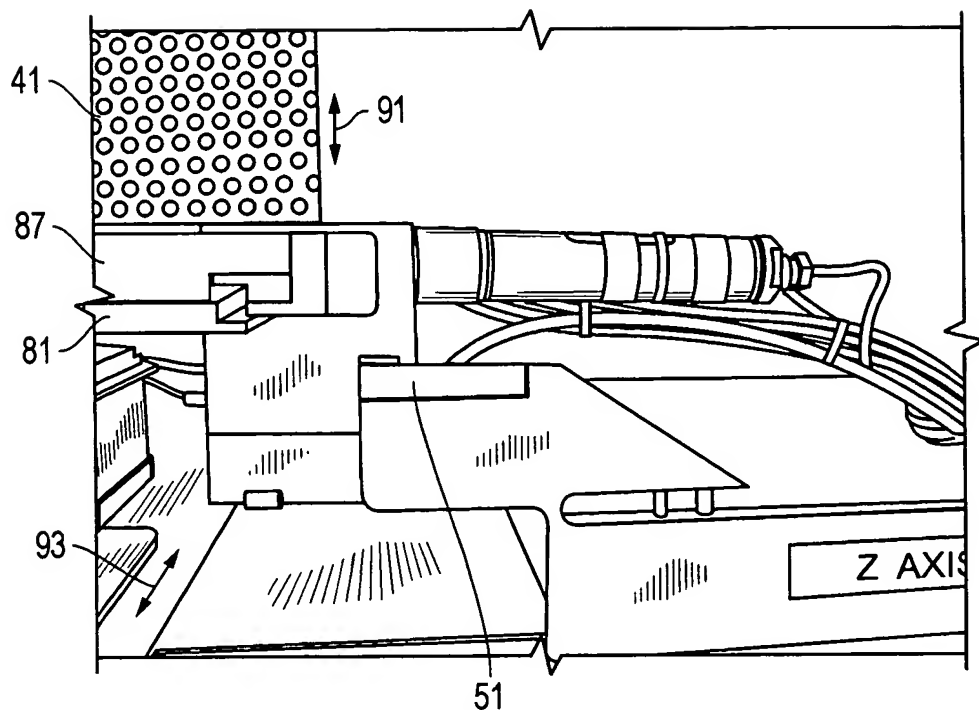


FIG. 8

5/8  
Borg, et al  
HSJ920030153US 3 LLN

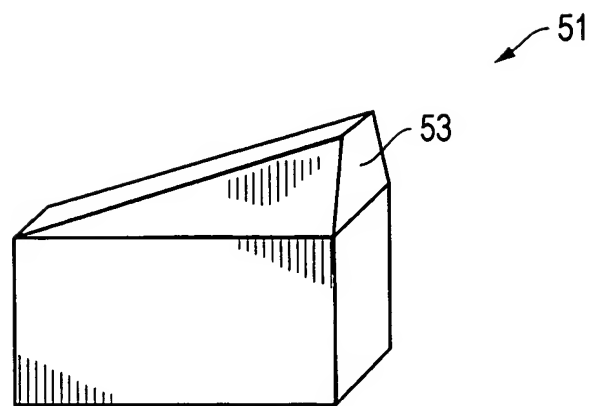


FIG. 9

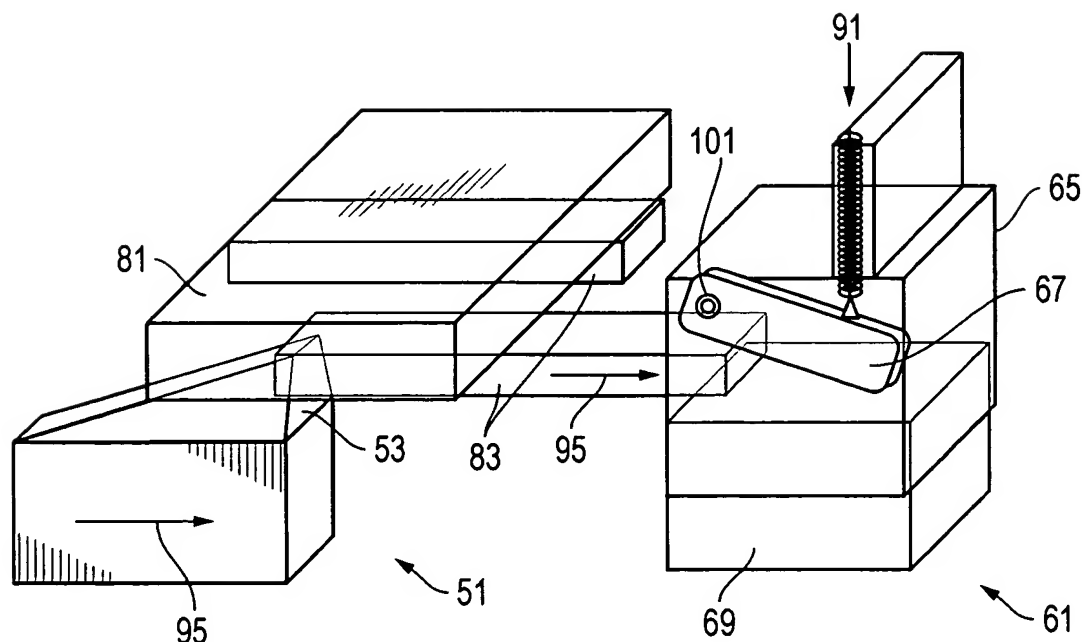


FIG. 10

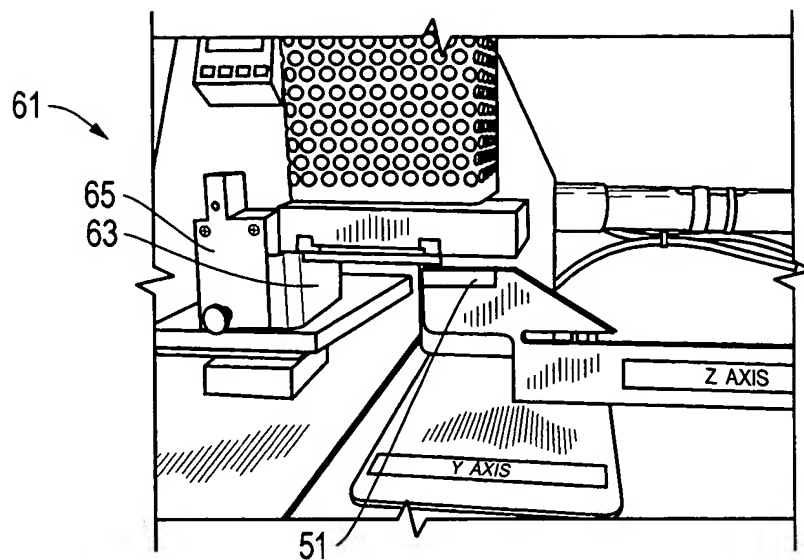


FIG. 11

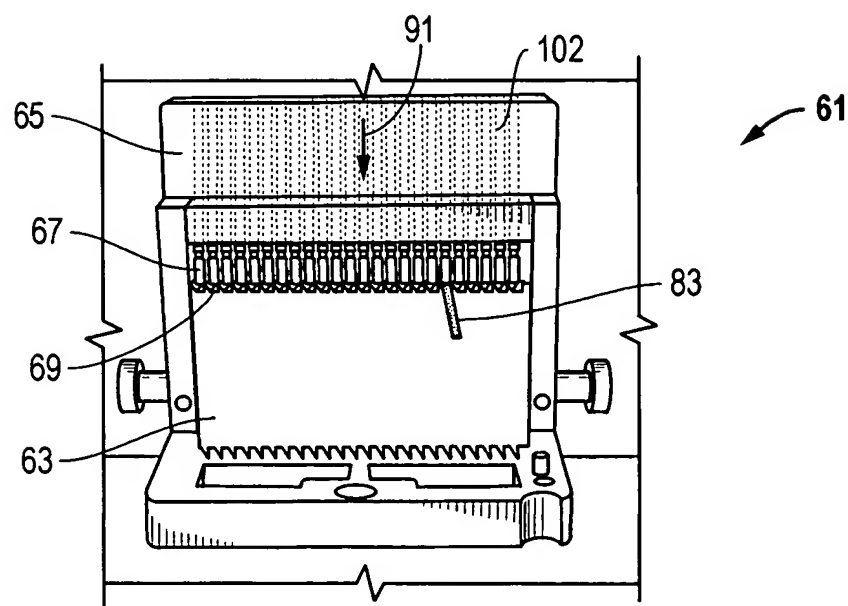
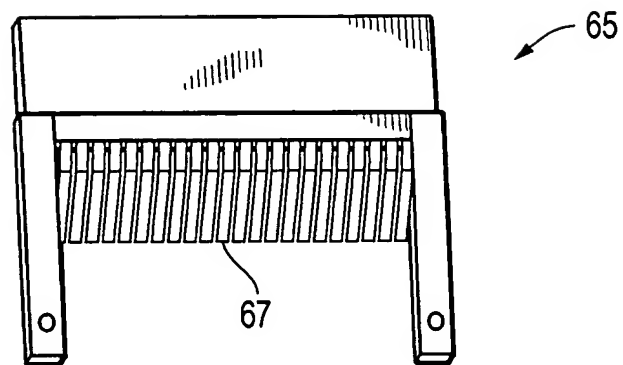
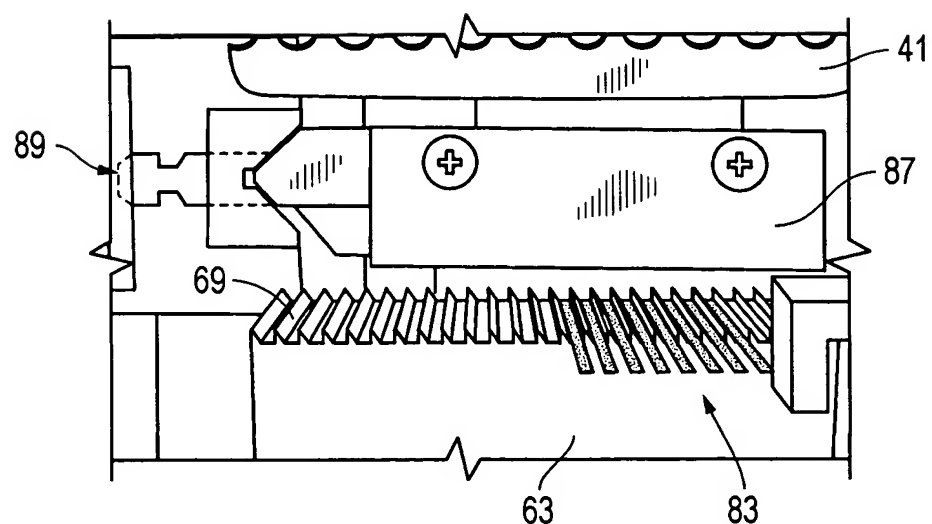


FIG. 12

7/8  
Borg, et al  
HSJ920030153US 3 LLN



*FIG. 13*



*FIG. 14*

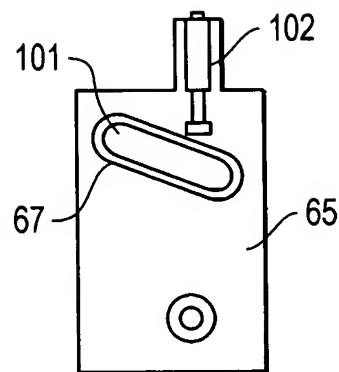


FIG. 15

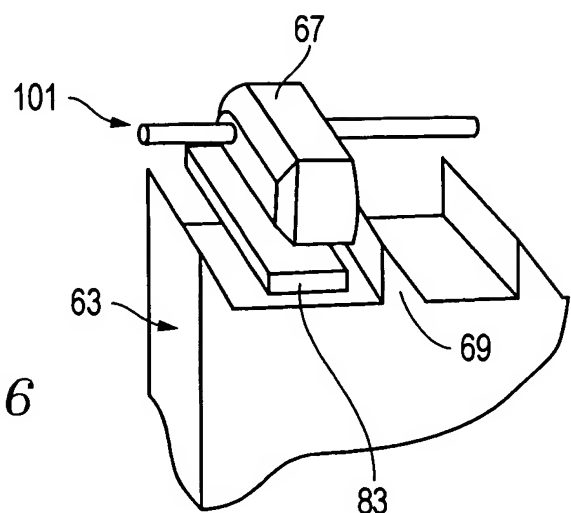


FIG. 16

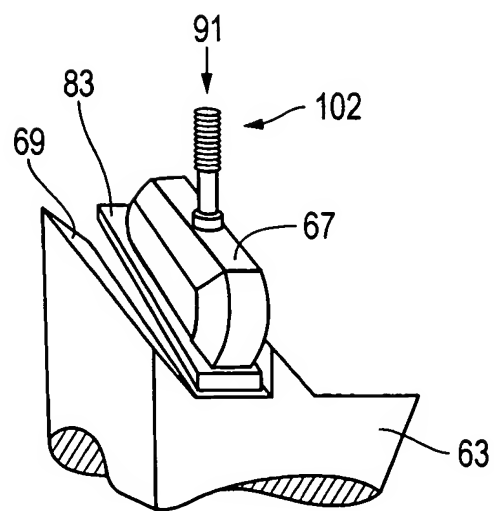


FIG. 17